

電波ロープの X 線観測 – ジェットのエネルギー測定 –

磯部直樹 (ISAS/JAXA, 理化学研究所),

田代信, 鈴木雅也, 阿部圭一, 伊藤光一 (埼玉大学), 牧島一夫 (東京大学, 理化学研究所)

伊予本直子 (GSFC/NASA), 金田英宏 (ISAS/JAXA)

1 電波ロープからの X 線

電波銀河やクエーサーなどのロープは、活動銀河中心核から噴出したジェットの終端に広がる巨大なシンクロトロン電波源である。ジェットの運搬した粒子や磁場は、最終的にこのロープに蓄積されると考えられる。したがって、ロープ中の電子と磁場のエネルギーを測定すれば、ジェットの永年にわたる活動を探ることになる。

ロープ中の電子はシンクロトロン電波を放出すると同時に、宇宙のいたるところに存在する宇宙マイクロ波背景放射の光子を逆コンプトン散乱 (IC) することで、X 線を放射する。この IC X 線とシンクロトロン電波の強度を比較すれば、ロープ中の電子と磁場のエネルギー密度を求めることが出来る (Harris & Grindlay 1979)。

我々は 1995 年、「あすか」衛星によって世界で初めて電波銀河 Fornax A のロープから IC X 線の検出に成功 (Kaneda et al. 1995) した。それ以来、「あすか」, Chandra, XMM-Newton などを駆使して、世界をリードする観測結果を次々と挙げて来た。その一例を図 1 に示す。

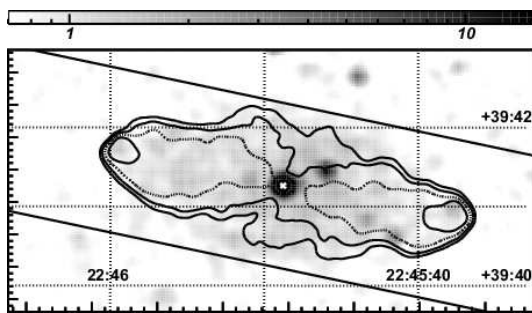


図 1: Chandra 卫星による電波銀河 3C 452 の X 線画像 (Isobe, et al., 2002)。電波干渉計による 1.4GHz の画像を等高線で重ねた。ロープを埋め尽くすように広がった IC X 線が検出されている。

2 電波ロープとジェットのエネルギー

図 2 に、IC X 線の強度から求めた、ロープ中の電子と磁場のエネルギー密度 (u_e と u_m とする) の関係を示す。既に、10 個を超える電波銀河のロープで u_e と u_m を求めることに成功している。驚くことに、ほぼ全てのロープで、従来仮定されてきたような磁場と電子のエネルギー等分配は成立していない。それどころか、典型的に $u_e \sim 10 u_m$ 程度の電子優勢が実現されている。この我々の発見は、最近になって次々と追認されはじめている (Croston, et al., 2005 など)。このように、ジェットの運搬したエネルギーは、その貯蔵庫であるロープに磁場ではなく電子(つまりは粒子)のエネルギーとして格納されているのである。もしかすると、この観測結果はジェットが粒子駆動であることを示唆しているのかも知れない。

ロープ中のエネルギーの担い手である電子は、電波と X 線を放出しながら絶えずエネルギーを失い続けている。ジェットがこのエネルギー損失に見合うだけのエネルギーをロープに供給し続けているために、ロープはその状態を保つことが出来る。したがって、ロープ中の全エネルギーを放射冷却の時間で割れば、ジェットが単位時間に供給するエネルギーを求めることができる。これをジェットのパワー L_{jet} と呼ぶことにする。 L_{jet} はジェットの活動の強さの良い指標となるはずである。

図 2 は、このようにして求めた L_{jet} をジェットを噴出している中心核の X 線光度 L_X に対して図示したものである。 L_X が大きくなると L_{jet} も大きくなる様子が良くわかる。中心核のエネルギー源は、中心核への質量降着と考えられる。したがって、この L_X と L_{jet} 相関関係はジェットのエネルギー源も質量降着であるという一般的な予想を証明する観測結果ではないかと考えている。

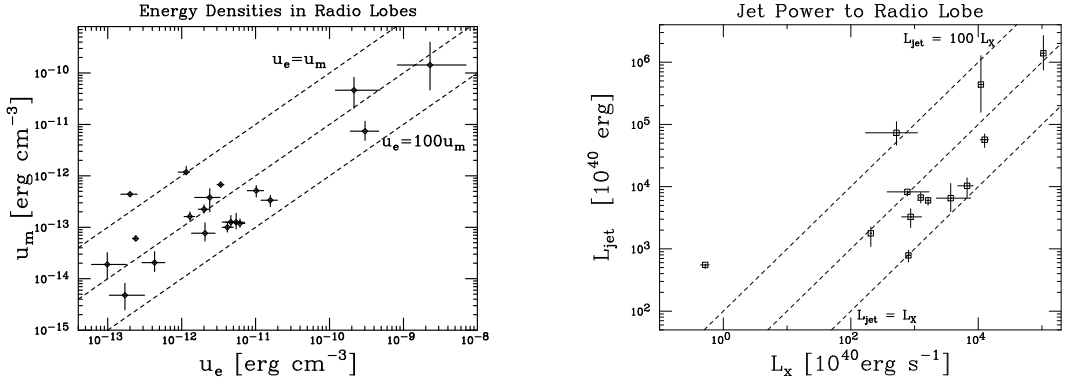


図 2: (左) IC X 線の観測で求めたロープ中の u_e と u_m の関係。斜めの点線は、上から $u_e = u_m$, $10 u_m$, $100 u_m$ を表わす。なお、 $u_m = 10^{-13} \text{ erg cm}^{-3}$ は、 $5 \mu\text{G}$ の磁場に相当する。(右) ジェットのパワー L_{jet} と中心核の X 線強度 L_x の関係。斜めの点線は、上から $L_{\text{jet}} = 100 L_x$, $10 L_x$, L_x を表わす (田代 & 磐部 2004)。

3 ASTRO-E2にむけて

これまで我々が測定してきた物理量はすべて、ジェットやロープの活動を時間積分したものであった。しかし、何とかしてロープの動的発展の姿をとらえたいと考えている。

図 3 の左に、最も近傍の電波銀河 Centaurus A のインナーロープの X 線画像 (Kraft, et al., 2003) を示す。南ロープの端にシェル状の明るい領域があることがわかる。Kraft, et al. (2003) は、この画像と観測された 3 keV という温度をもとに、ロープが周囲のガス中を超音速で膨張するために衝撃波が生じ、その背後が加熱されて X 線で明るいシェルとなるという描像を考案し (図 3 の右を参照)、ロープの膨張速度は 2400 km s^{-1} と見積もっている。

高いエネルギー分解能と検出感度を誇る ASTRO-E2 衛星搭載 XRS を用いれば、この膨張とともにならう輝線のドップラーシフトの検出、膨張速度を実測することが可能である。我々は既に、このロープ南端の観測時間を確保しており、どのような観測結果が得られるか非常に期待している。

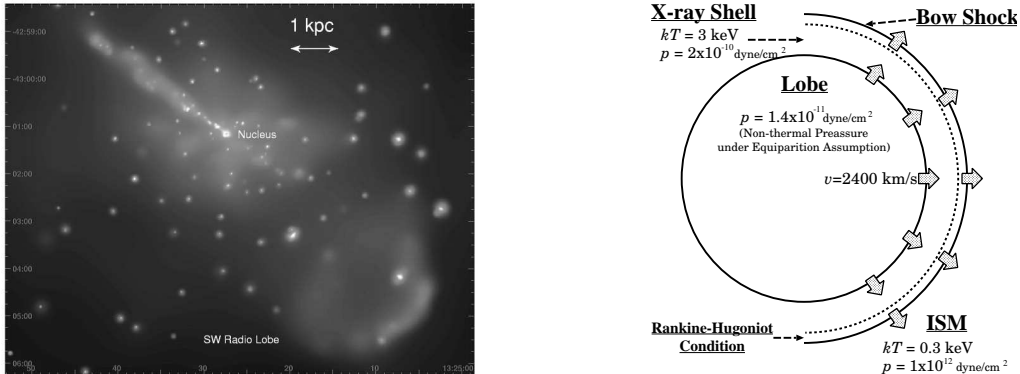


図 3: (左) *Chandra* による電波銀河 Centaurus A のインナーロープの X 線画像 (0.4 – 2 keV)。 (右) Centaurus A 南インナーロープの描像 (Krafet, et al., 2003)。

References

- Croston, J.H., et al., 2005, ApJ, 626, 733
- Harris, D.E., Grindlay, J.E., 1979, MNRAS, 188, 25
- Kaneda, H. et al. 1995, ApJ, 453, L13
- Isobe, N., et al., 2002, ApJ, 580, L111
- Kraft, R.P. et al., 2003, ApJ, 592, 129
- 田代 信, 磐部 直樹, 2004, 天文月報, 97, 400